



銅酸化物高温超伝導体で THz波の連続発振に成功

門脇 和男

山口 勇人, 川又 晃平, 山本 卓, 南 英俊, 掛谷 一弘

筑波大学大学院数理物質科学研究科物性・分子工学専攻
kadowaki@ims.tsukuba.ac.jp, <http://www.kadowaki.ims.tsukuba.ac.jp>

and

L. Ozyuzer, A. E. Koshelev, C. Kurter, N. Dopalsami, Q. Li,
K. E. Gray, W. K. Kwok and U. Welp

Materials Science, Division, Argonne National Laboratory
Argonne, IL60439, USA

平成19年（2007年）11月20日、13:30～、筑波大学本部棟8階経営協議会室

1



初めに

- ・ **超伝導の特徴**
 - 電気抵抗がゼロである
 - マイスナー効果(Meissner effect)がある(完全反磁性)
 - ジョセフソン効果(Josephson effect)がある
- ・ **ジョセフソン効果と固有ジョセフソン接合**
- ・ **ジョセフソンプラズマ吸収と励起**
- ・ **THz発振と検出(主に実験結果)**
- ・ **発振機構は?(ジョセフソンレーザー?)**
- ・ **まとめ**

2

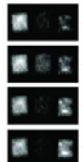


実用例

- *imaging*



(a)



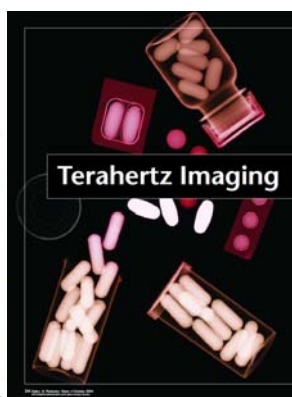
1.32 THz

1.39 THz

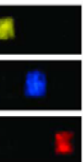
1.46 THz

1.54 THz

0.0



(b)



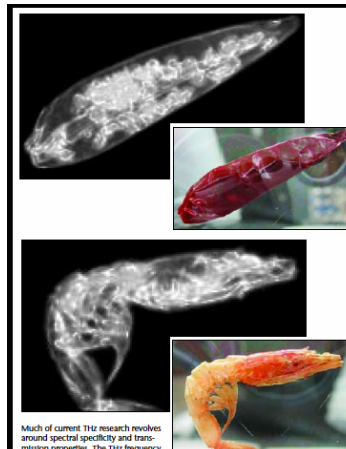
1.49 THz

1.84 THz

1.98 THz

3.5

Log attenuation



Much of current THz research revolves around spectral specificity and transmission properties. The frequency is more sensitive to the type and to therefore more sensitive to the nature of the materials it passes through. Here, a red pepper and a prawn are presented alongside their THz images. [Yuchi Oshima, RIKEN.]

After K. Kawase,

Optics and Photonics News, Oct. 2004, p.38

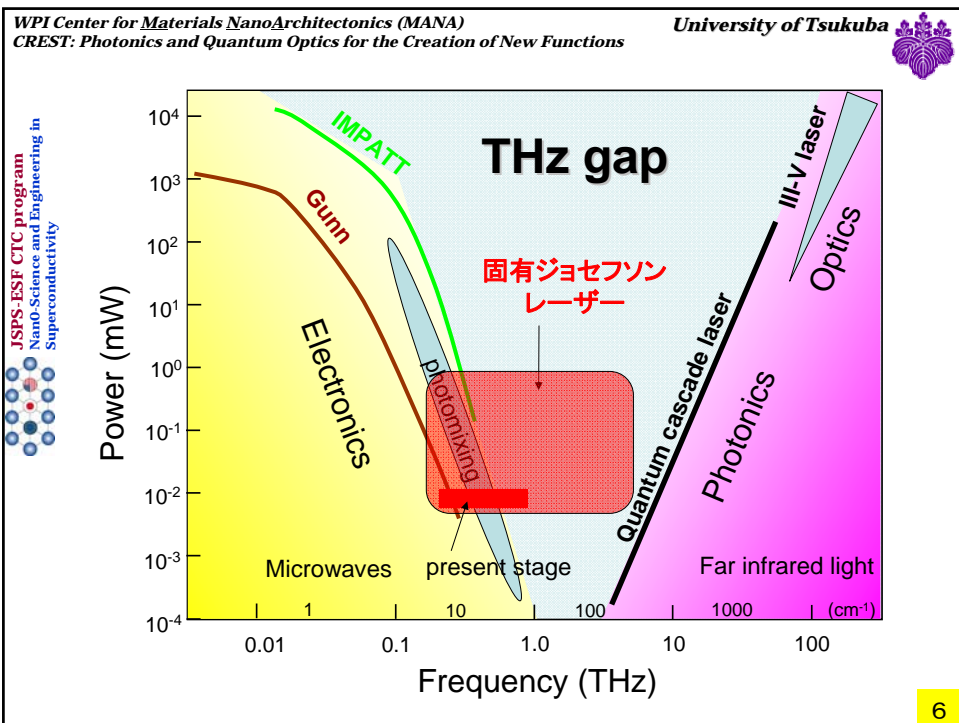
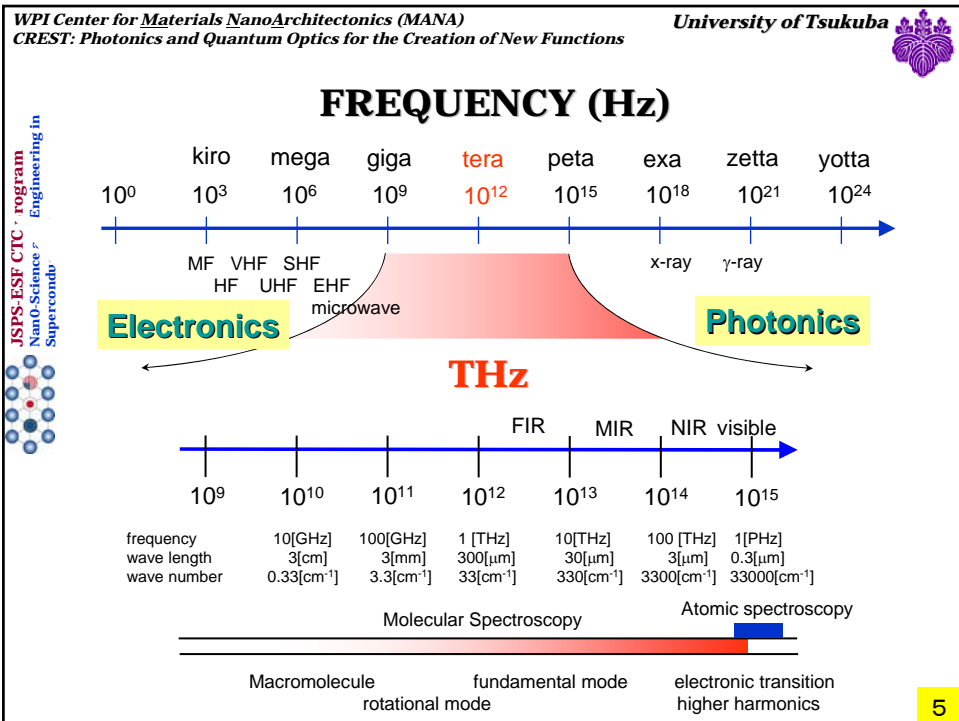
3



THz波の活躍する分野

- 原子・分子の分光、有機物、薬品、タンパク質、DNA、生体物質などの同定(物質の同定)
- 非破壊検査、透視
- セキュリティ、防衛
- 医療、診断、治療(比較: MRI、X線など)
- 通信、天文学、宇宙
- 環境モニター、食品検査
- その他

4





ジョセフソン効果

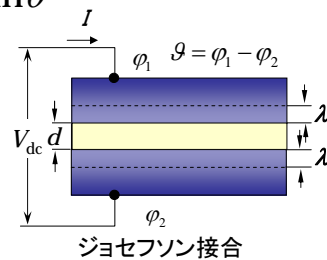
– 直流ジョセフソン効果: $I = I_c \sin \theta$

– 交流ジョセフソン効果

$$\hbar \frac{\partial \vartheta}{\partial t} (= \hbar \omega = h \nu) = 2 \text{ eV}$$

$$V = \frac{V_{dc}}{\phi_0} = 0.483 \text{ THz/mV}$$

$$\phi_0 (= h / 2e) = 2.067833636 \times 10^{-15} \text{ Wb}$$



Theory

B. D. Josephson, *Phys. Lett.* **1**, 251 (1962).

Experiments (Indirect)

S. Shapiro, *PRL* **11**, 80 (1963), S. Shapiro, et al., *Rev. Mod. Phys.* **36**, 223 (1964), I. Giaever, *PRL* **14**, 904 (1965).

Direct measurements

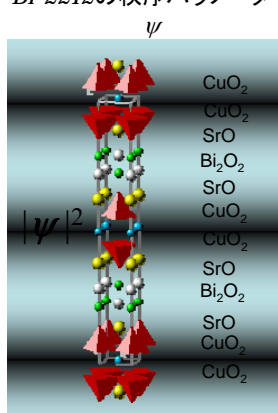
I. K. Yanson, V. M. Svistunov and I. M. Dmitrenko, *ZhETF*, **48**, 976 (1965), D. N. Langenberg, et al., *PRL* **15**, 294 (1965).

7

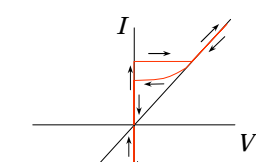


固有ジョセフソン効果: $\text{Bi}_2\text{Sr}_2\text{CaCu}_2\text{O}_{8+\delta}$

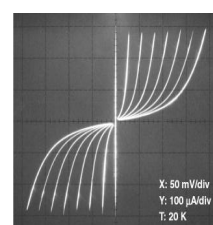
*Bi2212*の単位胞
*Bi-2212*の秩序パラメーター



本質的に不均一な超伝導体



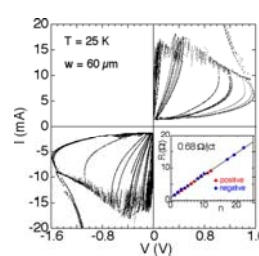
通常の超伝導体における
ジョセフソン接合のI-V特性



X: 50 mV/div
Y: 100 μA/div
T: 20 K
固有ジョセフソン接合
におけるI-V特性

多層効果

↓
1 μm で約 N~760枚



8

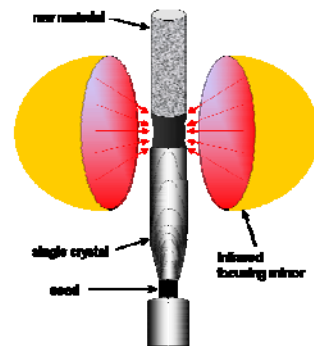
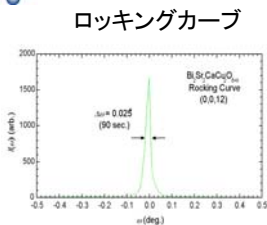


単結晶 $\text{Bi}_2\text{Sr}_2\text{CaCu}_2\text{O}_{8+\delta}$

固有ジョセフソン接合を高密度に内包している系

大きな異方性パラメーター γ
不足ドープ 過剰ドープ
 $\gamma \sim 1000 \longrightarrow \gamma \sim 80$

単結晶の例



High Quality Large Single Crystal Growth
Sophisticated ILTSFZ Method

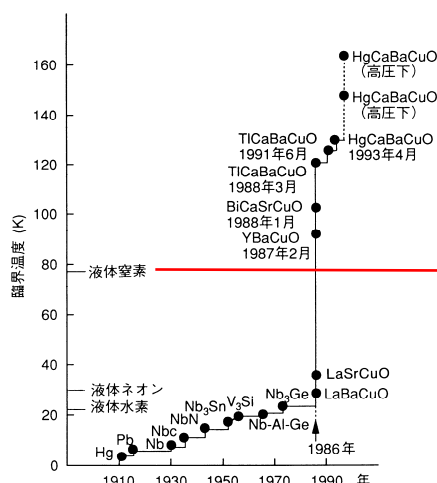
9



超伝導の発展の歴史



Heの液化
1908
超伝導の発見
1911
ノーベル物理学賞
1913



10

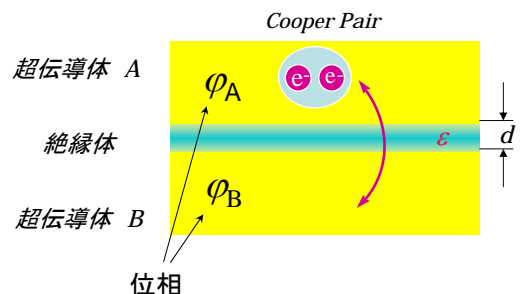


ジョセフソンプラズマ

$$\hbar\omega_p = \sqrt{8\pi ed\hbar j_c / \varepsilon}$$

$$<< 2\Delta \approx 60 \text{ meV}$$

$$f_p = \omega_p / 2\pi \approx 100 \text{ Gc/s}$$



P. W. Anderson, *Lectures on The Many-Body Problem*
(vol. II), edited by E. R. Caianiello,
Academic press, 1964, p113.

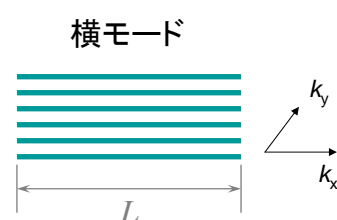


ジョセフソン効果とは
絶縁層をペアがトンネルする現象

11



縦モードと横モード



$$\omega_L = \omega_p \sqrt{1 + \varepsilon \mu^2 k_z^2}$$

$$\varepsilon \mu^2 k_z^2 \ll 1$$

no d dependence

$$\omega_T = \omega_p \sqrt{1 + \lambda_c^2 k_{x,y}^2}$$

$$\lambda_c^2 k_{x,y}^2 \approx 1$$

$$\frac{B_n}{B_p} = \frac{1}{1 - \frac{1}{\varepsilon} \left[\frac{(2n-1)\pi}{L(\omega/c)} \right]^2}$$

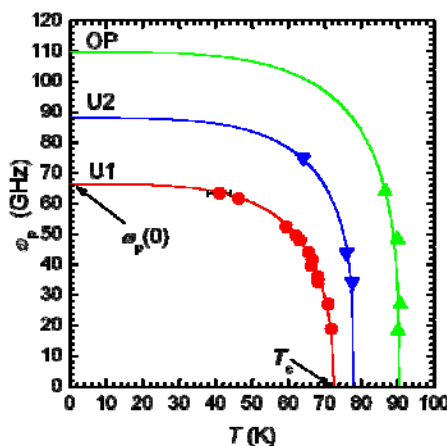
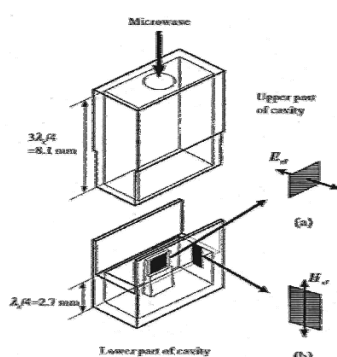
12



ジョセフソンプラズマ共鳴

Microwaves

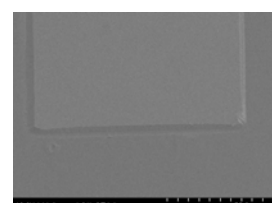
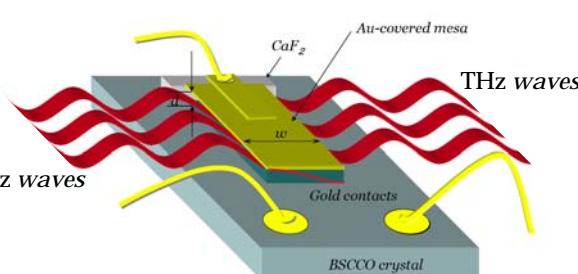
9 GHz ~ 90 GHz



13



メサ構造とTHzの発振



メサ構造の詳細

メサ構造のSEM像

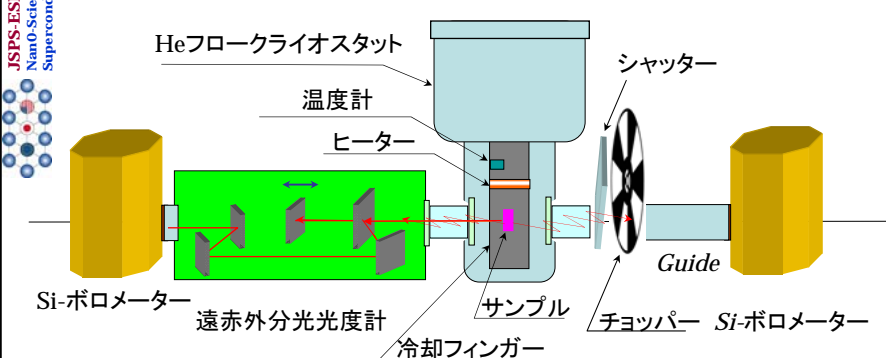
L (μm)	w (μm)	d (μm)	2λ (μm)	f _{cal} (GHz)	f _{obs} (GHz)	2f _{obs} (GHz)
300	100	1.0	200	358	357	—
300	80	1.0	160	447	480	990
300	60	1.0	120	597	560	—

14



実験のセットアップ

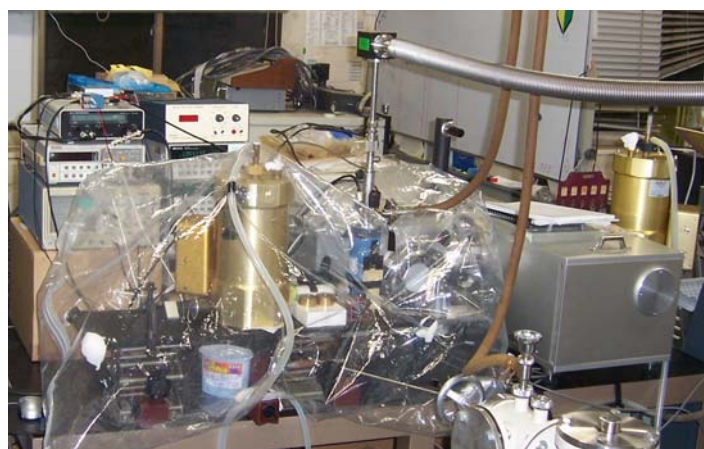
双方向で同時測定



15



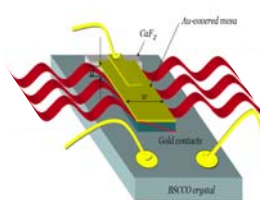
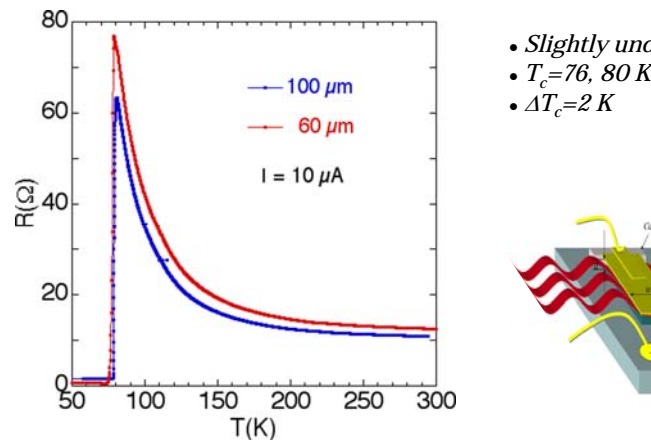
実験装置の写真



16



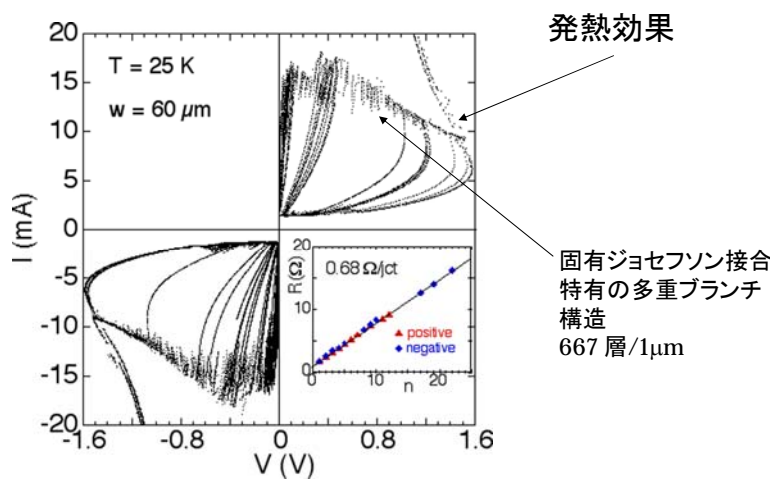
メサの電気抵抗の温度依存性



17



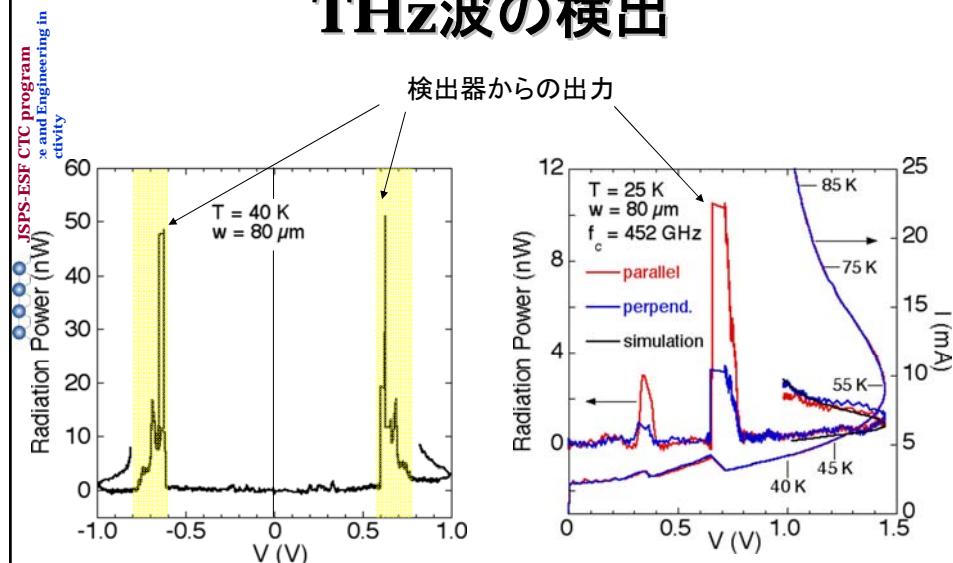
メサのI-V特性



18



THz波の検出



19



放射電力と 積層数の関係

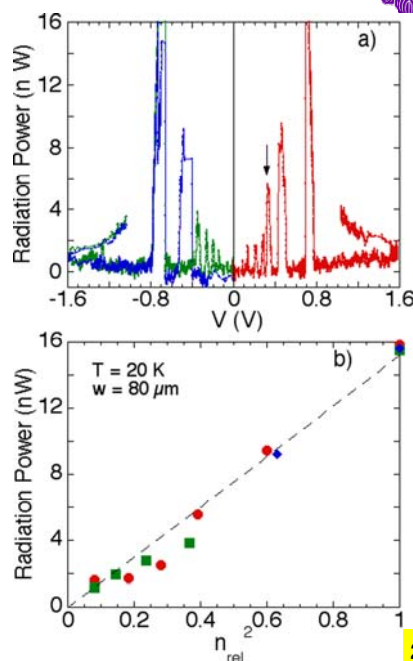
$$P_{rad} \propto n^2$$

コヒーレントな放射!

単層接合 JJ: $P_{single} \sim pW$

\downarrow 10^5 - 10^6 倍強力なパワー

多重固有接合: $P_{JJ} \geq \mu W - mW$



20



過去の研究

- K. Yanson, V. M. Svistunov and I. M. Dmitrenko, *Zh. Eksperim. i Teor. Fiz.* **48**, 976 (1965),
 D. N. Langenberg, et al., *PRL* **15**, 294 (1965).
 A. H. Dayem and C. C. Crimes, *Appl. Phys. Lett.* **9** (1966) 47.
 J. E. Zimmerman, et al., *Appl. Phys. Lett.* **9** (1966) 353.
 K. Nagatsuma, et al., *J. Appl. Phys.* **54** (1983) 3302.
 K. Nagatsuma, et al., *J. Appl. Phys.* **56** (1984) 3284.
 Kleiner, et al., *PRL* **68** (1992) 2394.
 Ustinov, et al., *PRL* **77** (1996) 3617.
 P. Barbara, et al., *PRL* **82** (1999) 1963. ← アレイ
 Iguchi, et al., *Phys. Rev.* **B61** (2000) 689.
 K. Kadowaki, et al., *Physica C* **437-438** (2006) 111.
 I. E. Batsov, et al., *Appl. Phys. Lett.* **88** (2006) 262504.
 M. -H. Bae, H. -J. Lee and J. -H. Choi, *PRL* **98** (2007) 027002.

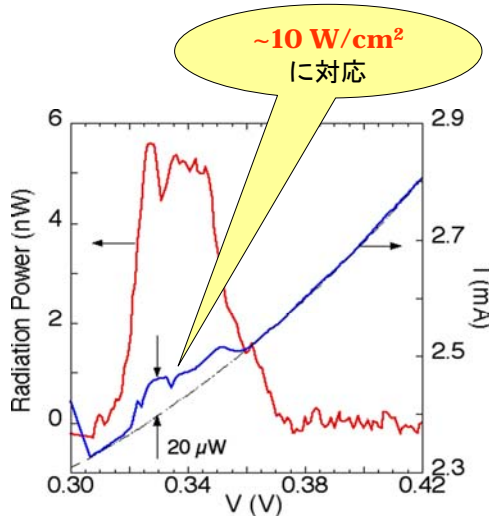
単一接合

多重固有接合

21



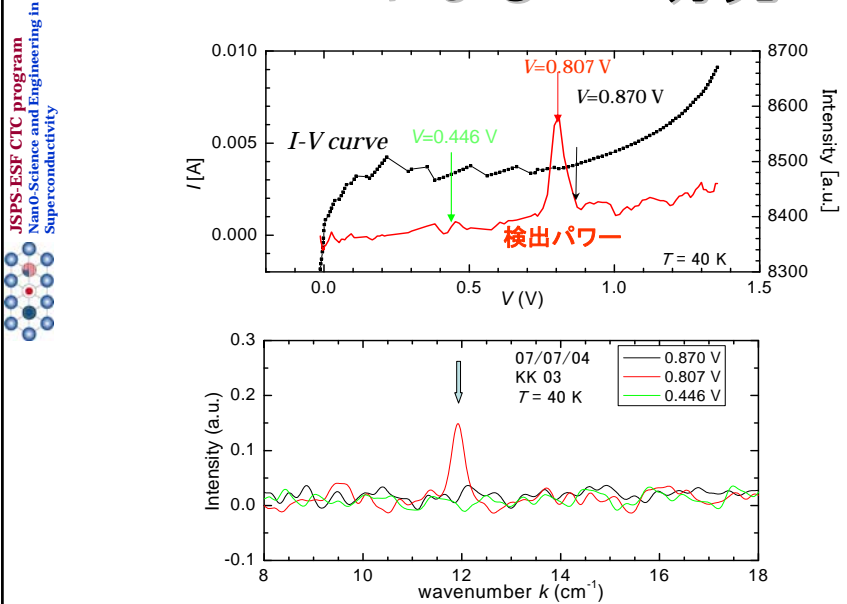
発振電力と供給電力の関係



22



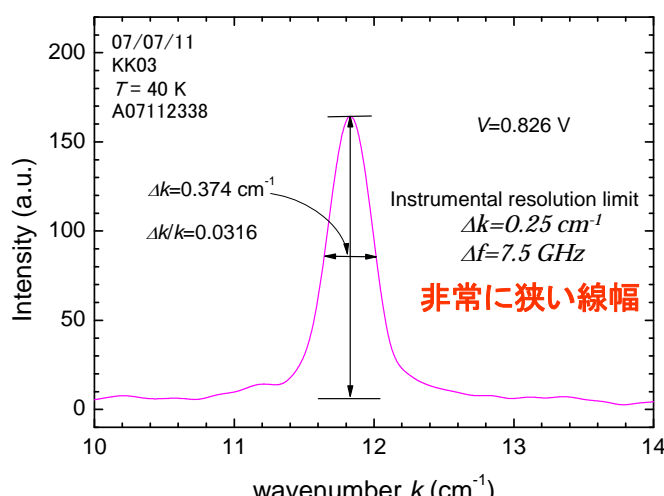
FT-IRによるTHz分光



23



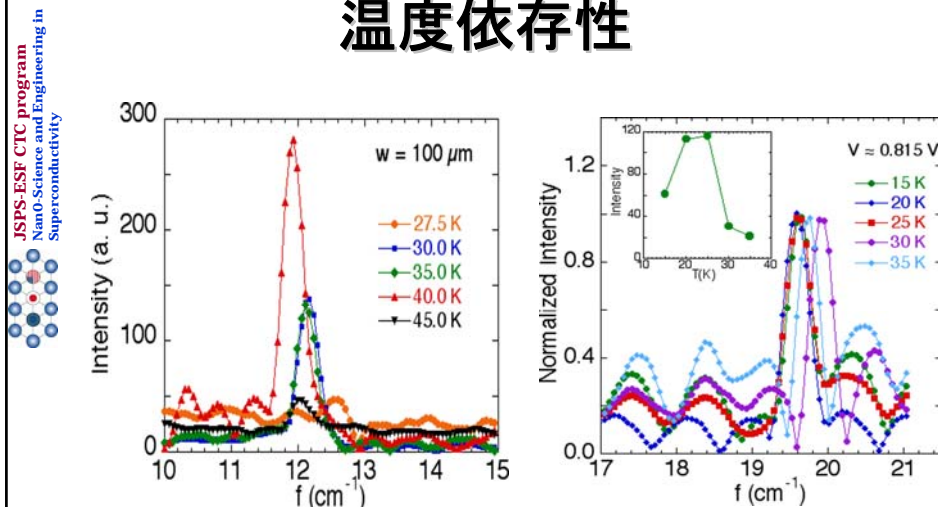
放射スペクトル (I)



24



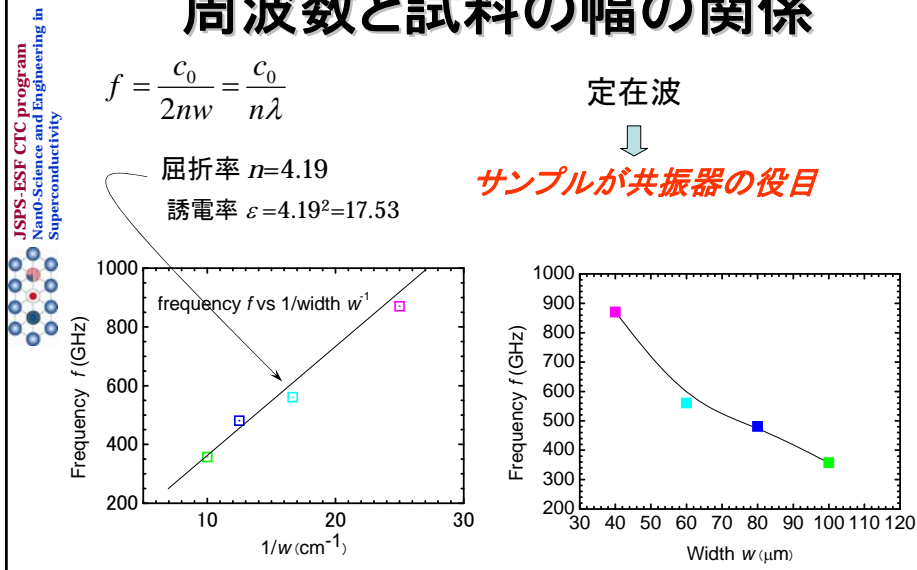
温度依存性



25



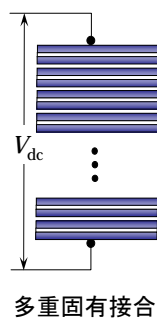
周波数と試料の幅の関係



26



発振機構



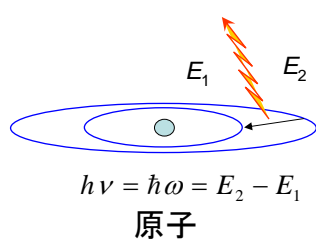
$\theta = \varphi_1 - \varphi_2$
 φ_1
 φ_2
 $P \propto N^2$
 巨大なジョセフソン接合
 多重固有接合

$$\theta = \theta_B - \theta_A$$

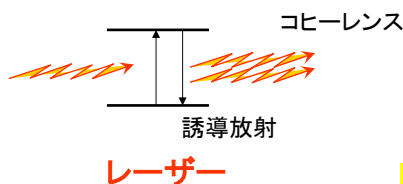
$$\frac{d\theta}{dt} = \frac{2e}{\hbar} V_{dc}$$

$$\therefore \theta = \omega_J t + \theta_0$$

$$f = \frac{2eV_{dc}}{\hbar} = \frac{V_{dc}}{\phi_0}$$



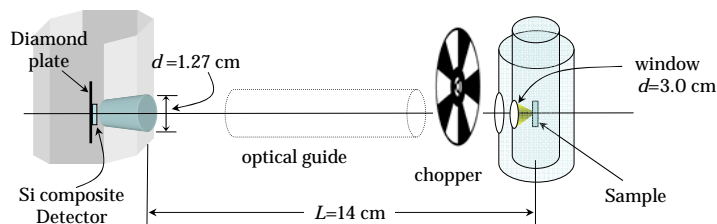
原子



27



電力の概算



$$P_{sample} \leq e_{eff} P_{obs}$$

$$P_{obs} = S^{-1} \times V_{out} = \frac{10mV}{2.73 \times 10^5} = 36.6nW$$

$$e_{eff}^{\max} = \frac{4\pi(14)^2}{\pi \times (0.635)^2} \times 2 = 3.89 \times 10^3$$

$$0.32 \mu W < P_{sample} < 0.14 mW$$

$$e_{eff}^{\min} = \frac{4\pi \times (1.0)^2}{\pi \times (1.5)^2} \times 2 = 3.6$$

28



まとめ

1. $f_{obs} = \frac{c_0}{2nw}$ c_0 : 光速
 n : 屈折率 $= 1/\sqrt{\epsilon} = 4.19$
 w : 試料の幅
2. $f_{obs} = \frac{2e}{h} \frac{V_{obs}}{N}$
 $N = \frac{h}{2e} \frac{V_{obs}}{f_{obs}} = \frac{483.5940}{0.001} \times \frac{0.791523}{568.1617} = 673 (= 1.029 \mu m)$
3. $P_{obs} \propto N^2$
 交流ジョセフソン効果が
 個々のジョセフソン接合で動作している！
 全接合が同一位相で振動！

N intrinsic junctions work together as if they are a big single junction.

Coherent resonant emission occurs when

$$V_{obs} = 88.7 \times \frac{N}{w} \text{ (mV)}$$

is satisfied. ($[w] = [\mu m]$)

交流ジョセフソンレーザー

29